



ELEKTROTEHNIČKI FAKULTET

UNIVERZITET U BEOGRADU

Projektni zadatak iz Dinamike Mehaničkih Sistema, školska 2022/23

Kretanje kuglice po kružnom obroču koji rotira konstantnom brzinom

Smiljanić Pavle 2020/0057

Stojko Miloš 2021/0479



Sadržaj

1. Izvođenje Jednačine Kretanja	3
1.1. Problem	3
1.2. Ojler-Lagranžove jednačine	4
1.3. <i>Constraint stabilization</i> metoda	5
2. Rezultati simulacije	6
2.1. Simulacija	6
2.2. Stabilna ravnoteža	6
2.3. Male oscilacije	8
2.4. Sila ograničenja	10
2.5. Zanimljivi slučajevi	14
A. MATLAB kodovi	16
A.1. Simboličko rešavanje	16
B. Python kodovi	18
B.1. Simulacija	18

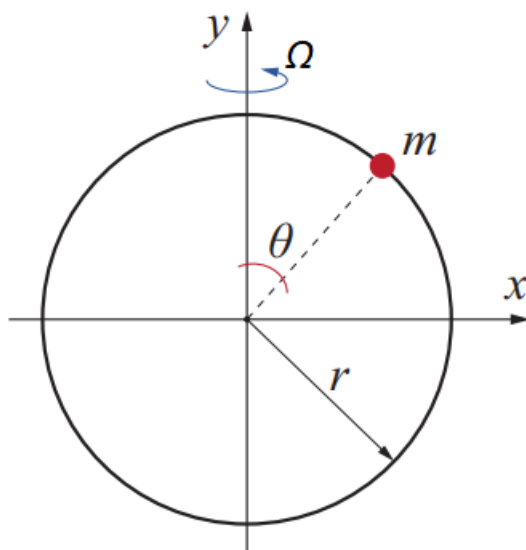
1. Izvođenje Jednačine Kretanja

1.1. Problem

Tekst problema je sledeći:

Mala kuglica mase m može da klizi bez trenja po obroču radijusa R . Obruč rotira ugaonom brzinom Ω oko vertikalne ose koja prolazi kroz njegov centar. Sistem se nalazi u konstantnom gravitacionom polju Zemlje. Smatrati da je obruč fiksiran tako da mu je jedini stepen slobode rotacija oko vertikalne ose koja prolazi kroz njegov centar.

Za početak, odredimo koordinate od kojih će zavistiti naš sistem.



Slika 1.1.: Koordinatni sistem

Ugao θ se meri od vrha, i nalazi se u opsegu $[0, 2\pi)$. Rastojanje od centra obruča do kuglice je druga koordinata, r . Iz ograničenja mi znamo da se ova koordinata neće menjati, međutim dopustimo za početak da se ona menja. Nama je od interesa zavisnost ugla otklona od vremena. Sa tim na umu, nas ne zanima treća koordinata koja bi takođe postojala, a koja bi predstavljala ugaoni otklon kuglice u odnosu na Oxy ravan. Mi taj ugaoni otklon svakako znamo, sa obzirom da obruč rotira poznatom ugaonom brzinom. Dakle, mi ćemo pisati

jednačine po 2 koordinate, θ i r . Postojeće jedna jednačina ograničenja u sistemu:

$$f(r) = r - R = 0 \quad (1.1)$$

1.2. Ojler-Lagranžove jednačine

Problem je rešen pomoću MATLAB-a, simboličkim rešavanjem. Ceo kod se može naći u dodatku A.1. Pomoću Ojler-Lagranžove jednačine po θ dolazimo do prve diferencijalne jednačine u našem sistemu. Međutim, rešavanje Ojler-Lagranžove jednačine po r nas ne dovodi do druge jednačine, zato što postoji ograničenje po koordinati r . Iz ove jednačine, pomoću metode Lagranžovih množilaca, dolazimo do jednačine koja će nam govoriti o evoluciji sile ograničenja tokom vremena.

Za početak, odredimo Lagranžijan sistema. Kinetičku energiju odredićemo prebacivanjem u Dekartov koordinatni sistem pomoću sledećih relacija:

$$\begin{aligned} x &= r \sin(\theta) \cos(\Omega t) \\ y &= r \cos(\theta) \\ z &= -r \sin(\theta) \sin(\Omega t) \end{aligned}$$

U Dekartovom koordinatnom sistemu, kinetičku energiju nalazimo pomoću formule

$$T = \frac{1}{2} (mv_x^2 + mv_y^2 + mv_z^2) \quad (1.2)$$

Potencijalna energija jednaka je

$$U = mgy \quad (1.3)$$

Ojler-Lagranžova jednačina po θ :

$$\frac{\partial \mathcal{L}}{\partial \theta} - \frac{d}{dt} \left(\frac{\partial \mathcal{L}}{\partial \dot{\theta}} \right) = 0 \quad (1.4)$$

Simboličkim rešavanjem iz ove jednačine dobijamo prvu diferencijalnu jednačinu koju ćemo koristiti u simulaciji:

$$\frac{mr}{2} (r\Omega^2 \sin 2\theta + 2g \sin \theta - 2r\ddot{\theta} - 4\dot{r}\dot{\theta}) = 0 \quad (1.5)$$

Ova jednačina se može srediti do sledećeg oblika:

$$\Omega^2 r \cos \theta \sin \theta + g \sin \theta - r\ddot{\theta} - 2\dot{r}\dot{\theta} = 0 \quad (1.6)$$

Ojler-Lagranžovom jednačinom po r , pomoću metode Lagranžovih množilaca, možemo naći jednačinu koja opisuje vremensku evoluciju sile ograničenja:

$$\frac{\partial \mathcal{L}}{\partial r} - \frac{d}{dt} \left(\frac{\partial \mathcal{L}}{\partial \dot{r}} \right) + \frac{\partial f}{\partial r} \lambda = 0 \quad (1.7)$$

Sila ograničenja biće jednaka

$$F_{con} = \lambda \frac{\partial f}{\partial r} = \lambda \quad (1.8)$$

Simboličkim rešavanjem, nakon sređivanja, dolazimo do jednačine:

$$F_{con} = mg \cos \theta - mr\dot{\theta}^2 - mr\Omega^2 \sin^2 \theta + m\ddot{r} \quad (1.9)$$

Silu ograničenja računamo nakon što odredimo $\theta(t)$ i $r(t)$.

1.3. Constraint stabilization metoda

Mi imamo jednu diferencijalnu jednačinu. Sa obzirom da sistem ima 2 koordinate, neophodna nam je i druga diferencijalna jednačina. Jednačina koju smo dobili iz Ojler-Lagranžove jednačine po r koordinati nije korisna sa obzirom da postoji ograničenje po koordinati r . Mi možemo naći drugu diferencijalnu jednačinu upravo iz jednačine ograničenja pomoću *constraint stabilization* metode. Polazimo od jednačine ograničenja 1.1:

$$f(r) = r - R \quad (1.10)$$

Kako bismo pronašli diferencijalnu jednačinu koja će nam garantovati ovaj rezultat, polazimo od sledeće jednačine:

$$\ddot{f} + 2a\dot{f} + a^2f = 0 \quad (1.11)$$

Parametar a će biti takav da nam osigurava da funkcija f brzo teži 0, poput prigušene oscilacije. Ograničenje upravo i glasi da je funkcija f jednaka 0 u svim tačkama kretanja. Na osnovu veze između f i r prethodnu jednačinu možemo napisati kao:

$$\ddot{r} + 2a\dot{r} + a^2(r - R) = 0 \quad (1.12)$$

U simulaciji je korišćena vrednost $a = 100$, jer ova vrednost daje zadovoljavajuće rezultate. Konačno, dobijamo drugu diferencijalnu jednačinu:

$$\ddot{r} + 200\dot{r} + 100^2(r - R) = 0 \quad (1.13)$$

2. Rezultati simulacije

2.1. Simulacija

Za početak, vrednosti konstanti koje se koriste: $m = 0.1\text{kg}$, $g = 9.81\frac{m}{s^2}$, $R = 1\text{m}$. Vrednost Ω koju koristimo za simulaciju će zavisi. Dve vrednosti Ω koje koristimo radi crtanja reprezentativnih grafika su $\Omega_1 = 1.56\frac{rad}{s}$ i $\Omega_2 = 4.69\frac{rad}{s}$. Ovim dvema vrednostima odgovaraju dva karakteristična slučaja: stabilna ravnoteža na dnu obruča i stabilna ravnoteža koja nije na dnu obruča. Za simulacije malih oscilacija koristi se početni ugao koji je malo pomeren od onog koji je određen za stabilnu ravnotežu numeričkom metodom. Simulacija se vrši klasičnom metodom rešavanja sistema diferencijalnih jednačina u Python-u. Na osnovu prethodno navedenih rezultata, sistem diferencijalnih jednačina je:

$$\Omega^2 r \cos \theta \sin \theta + g \sin \theta - r\ddot{\theta} - 2\dot{r}\dot{\theta} = 0 \quad (2.1)$$

$$\ddot{r} + 200\dot{r} + 100^2(r - R) = 0 \quad (2.2)$$

Celokupni kod za simulaciju se može naći u dodatku B.1.

2.2. Stabilna ravnoteža

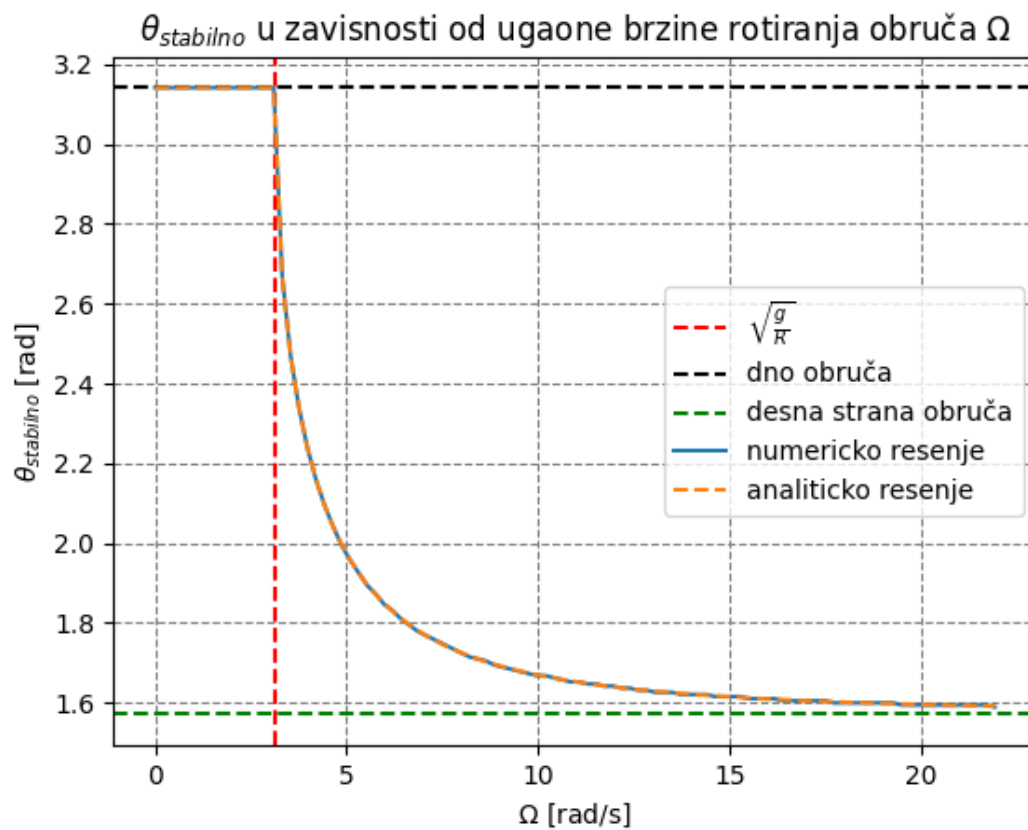
Moguće je odrediti tačku stabilne ravnoteže za male oscilacije analitički iz jednačine 1.6. Rezultat je sledeći:

$$\theta_{stabilno} = \begin{cases} \pi, & \Omega \leq \sqrt{\frac{g}{R}} \\ \arccos\left(-\frac{g}{R\Omega^2}\right), & \sqrt{\frac{g}{R}} < \Omega \end{cases}$$

Kao što vidimo, vrednost ugla stabilne ravnoteže biće π sve do neke kritične vrednosti Ω , nakon koje on kontinualno raste, sa asimptotskom vrednošću $\frac{\pi}{2}$.

U okviru simulacije, moguće je odrediti stabilnu ravnotežu u zavisnosti od ugaone brzine na sledeći način: Za različite vrednosti Ω se za različite vrednosti početnog ugla θ vrši simulacija. Ona vrednost θ za koju su oscilacije najmanje, odnosno koja je najbliža stabilnoj ravnoteži, uzima se kao vrednost stabilne ravnoteže. Ova simulacija je veoma tehnički zahtevna zbog velikog broja tačaka (simulacija traje oko 60 minuta), ali ju je potrebno izvršiti samo jednom, jer se vrednosti čuvaju za buduće korišćenje.

Rezultat je sledeći:

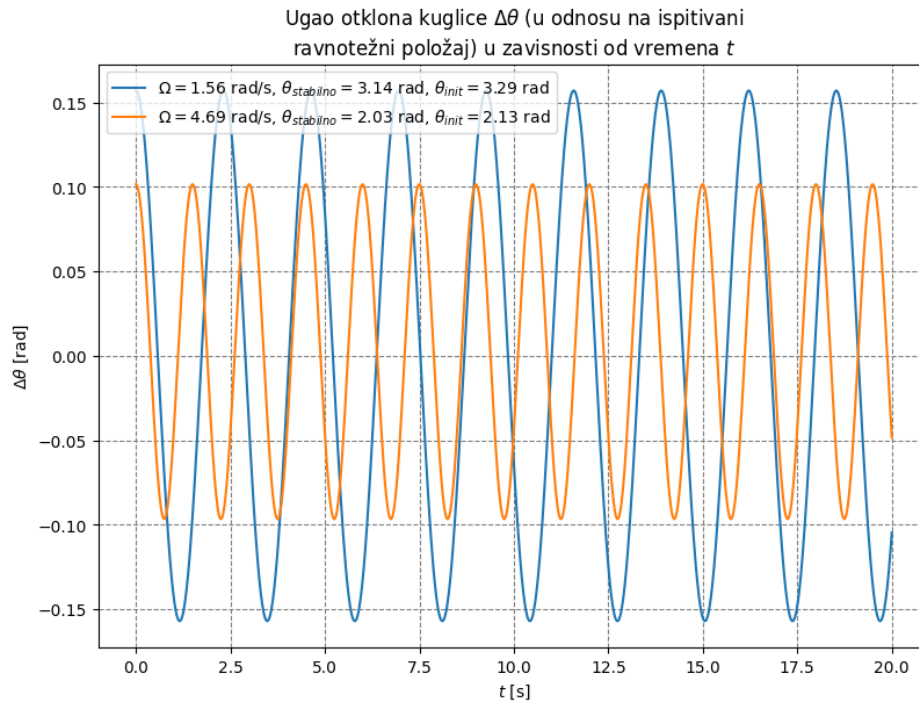


Slika 2.1.: Zavisnost ugla stabilne ravnoteže od ugaone brzine obruča

Vidimo da se analitička i numerička zavisnost dobro poklapaju. Ovo je prvi indikator da je simulacija precizna.

2.3. Male oscilacije

Slede rezultati simulacije malih oscilacija za 2 karakteristična slučaja.

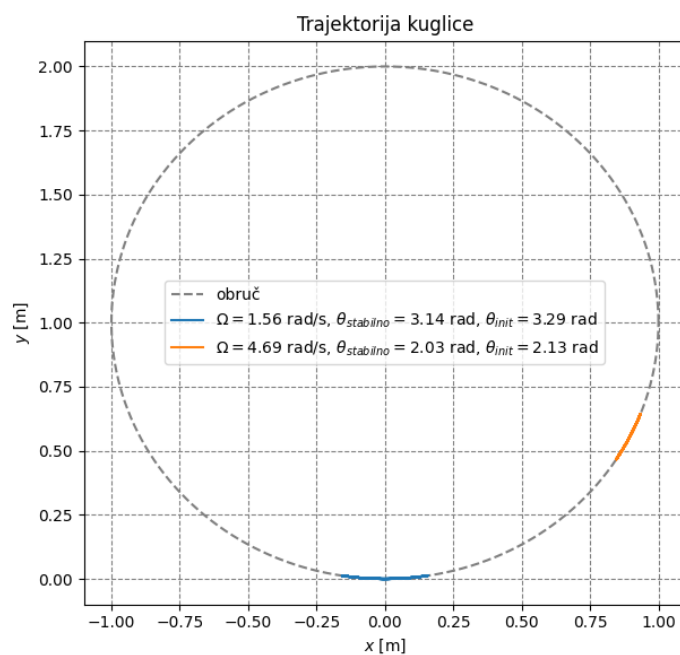


Slika 2.2.: Vremenska evolucija ugla otklona

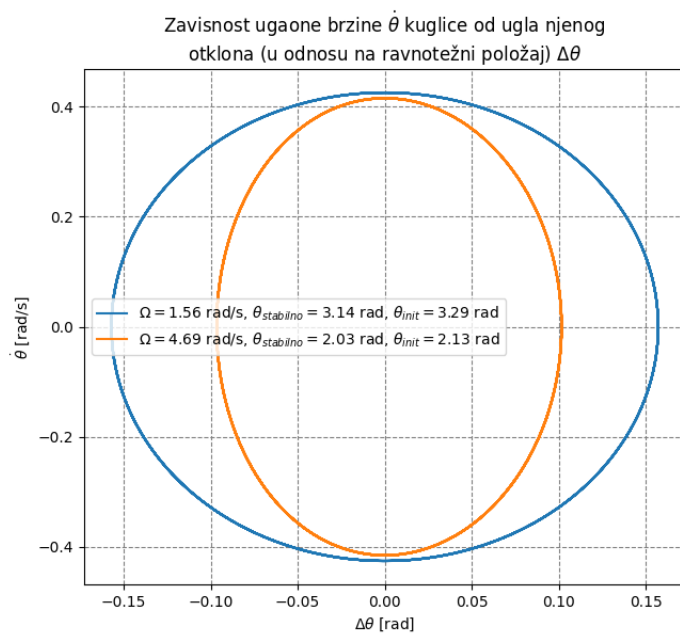
Za početak analizirajmo grafik 2.2. Za oba slučaja računat je ugao otklona u odnosu na njihov ravnotežni položaj. Uviđamo periodično oscilovanje oko ravnotežnog položaja, što se i očekivalo. Amplituda ovih oscilacija zavisi prevashodno od inicijalnog ugla otklona.

Na grafiku 2.3 isprekidana linija predstavlja obruč. Primećujemo da će ugao otklona tokom celog kretanja biti konfiniran u malu oblast oko ravnotežnog položaja. Ovo je i očekivano za male oscilacije oko stabilne ravnoteže. Na ovom grafiku y koordinata se meri od dna obruča.

Primećujemo da su fazni dijagrami na grafiku 2.4 elipse. Ovo je očekivano od sistema drugog reda, što male oscilacije oko stabilne ravnoteže i jesu.

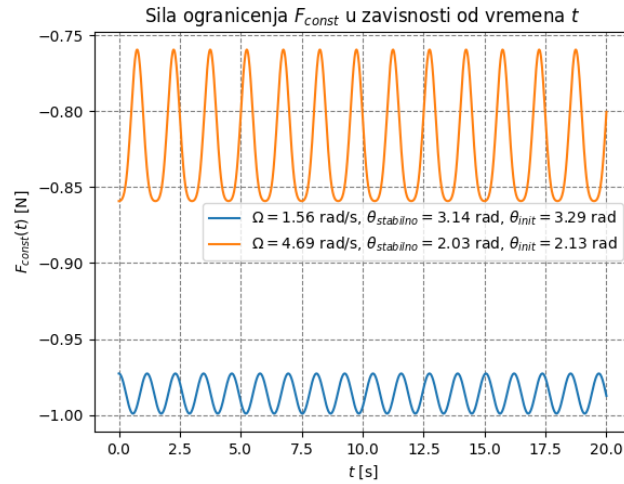


Slika 2.3.: Trajektorija kuglice



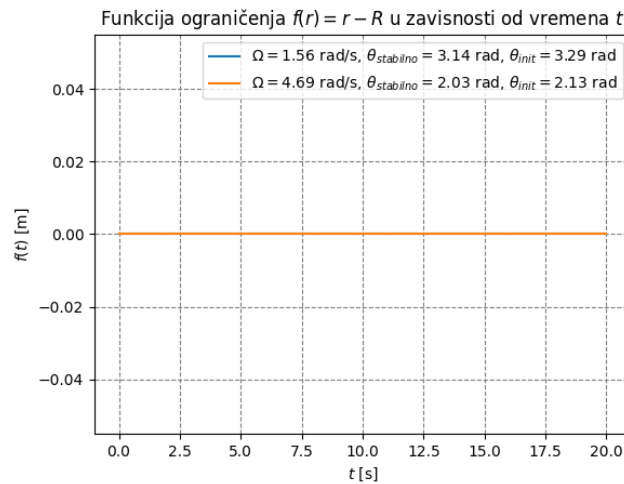
Slika 2.4.: Fazni dijagram ugla otklona

2.4. Sila ograničenja



Slika 2.5.: Vremenska evolucija sile ograničenja

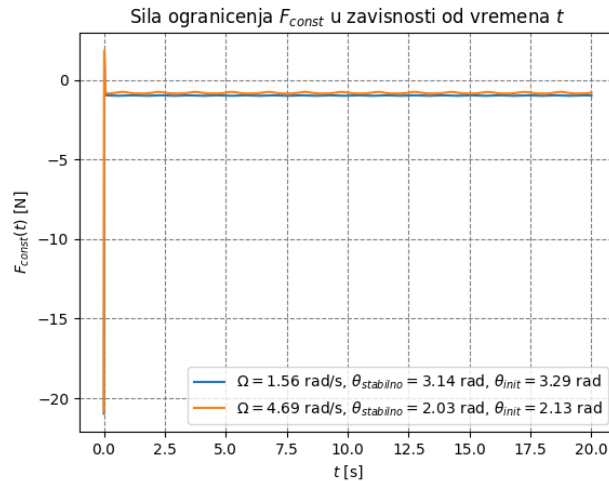
Prva stvar koju primećujemo je da je sila ograničenja negativna. To nam govori da se ona bori protiv porasti koordinate r . U fizičkom smislu, to znači da će centripetalna sila delovati od centra obruča, što je i očekivano. Sila ograničenja se protivi centripetalnoj sili, i garantuje da će ograničenje važiti tokom celokupnog kretanja.



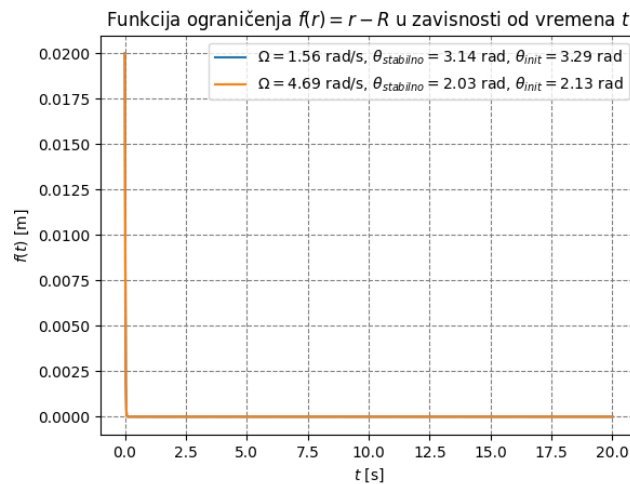
Slika 2.6.: Vremenska evolucija funkcije ograničenja

2.4. SILA OGRANIČENJA

Mi smo kao početnu vrednost koordinate r uzeli upravo R , tako da je inicijalni otklon bio 0. Ovo ne znači da nam nije neophodna diferencijalna jednačina dobijena *constraint stabilization* metodom, jer će ona garantovati da otklon postane 0 u slučajevima kada on to nije. Ukoliko bi se inicijalna vrednost r postavila na neku drugu vrednost, ona bi vrlo brzo postala R . Kako bismo to demonstrirali, prilažemo prethodna 2 grafika za slučaj kada je inicijalna vrednost r jednaka $1.02 \cdot R$:



Slika 2.7.: Vremenska evolucija sile ograničenja

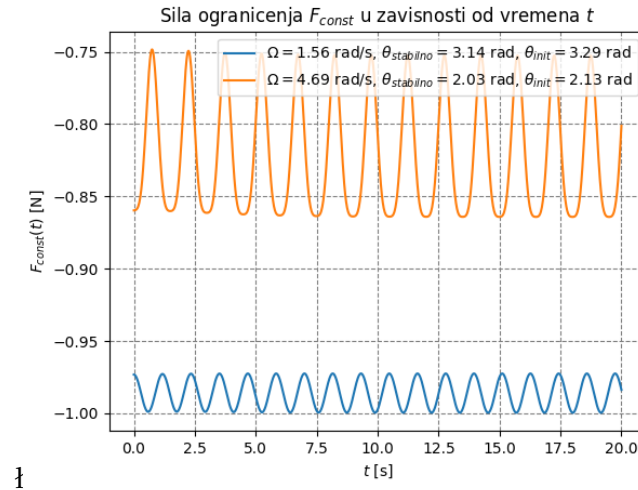


Slika 2.8.: Vremenska evolucija funkcije ograničenja

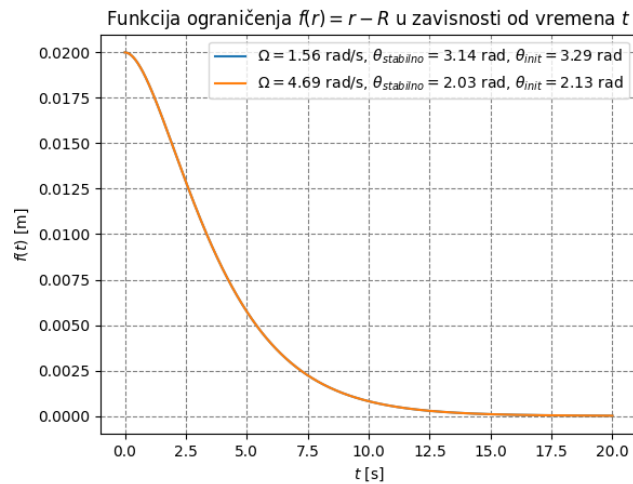
Sa prethodna 2 grafika se da videti da je sila ograničenja veoma brzo osigurala pad funkcije ograničenja na 0. Za svaku početnu vrednost r će se ispoljiti identično ponašanje. Razlog zašto je prikazan grafik za malo odstupanje od samo 2% je da bi se lepše videlo ponašanje

2.4. SILA OGRANIČENJA

funkcija na graficima. Ukoliko bi početna vrednost r ostala $1.02 \cdot R$, a vrednost parametra a iz 2.2 bila smanjena na $a = 0.1$, onda bi se vrednost r dosta sporije spustila na $r = R$. Prikažimo grafike sile i funkcije ograničenja za taj slučaj:

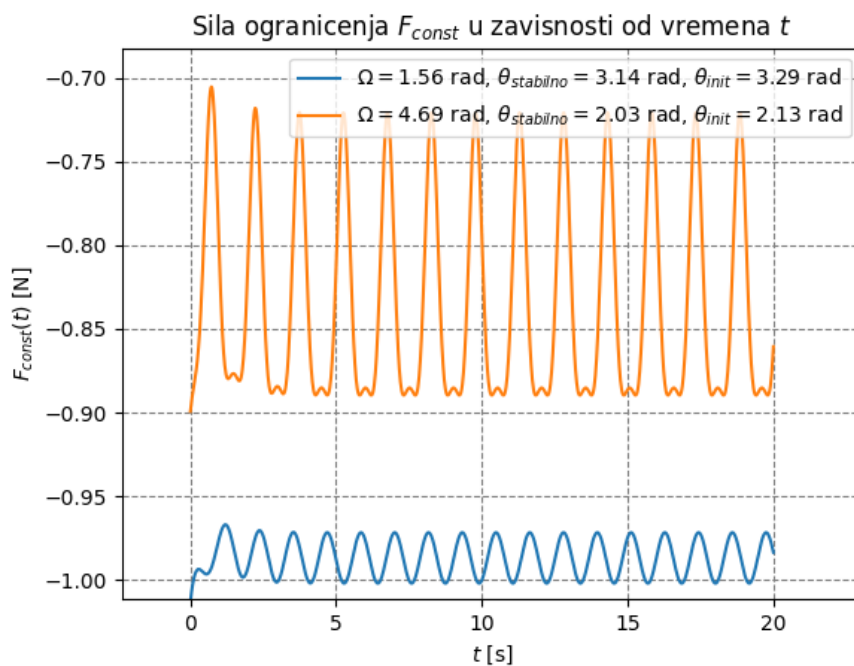


Slika 2.9.: Vremenska evolucija sile ograničenja za $a = 0.1$



Slika 2.10.: Vremenska evolucija funkcije ograničenja za $a = 0.1$

Sila ograničenja se blago pomera "na dole", dok funkcija ograničenja dosta sporije opada. Sila ograničenja neće uvek imati isti oblik. Za slučaj kada je inicijalna vrednost $r = 1.1 \cdot R$, a vrednost parametra a jednaka $a = 2$ dobijamo veoma interesantan oblik sile ograničenja:

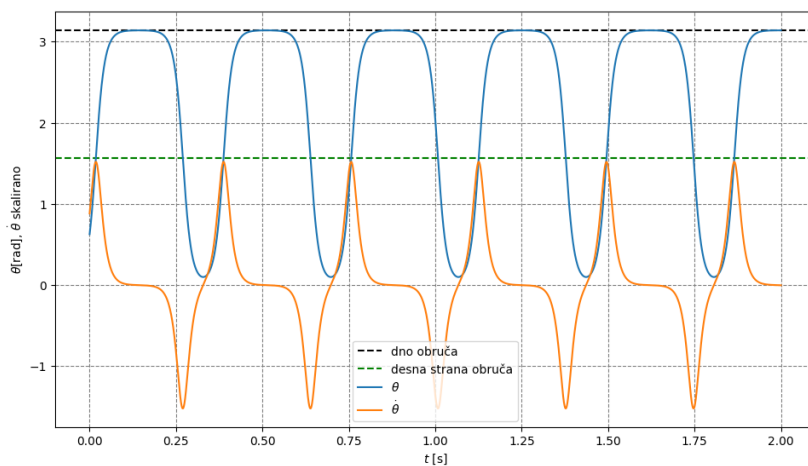


Slika 2.11.: Vremenska evolucija funkcije ograničenja za $a = 2, r = 1.1 \cdot R$

Ponovo možemo primetiti da funkcija ograničenja "migrira" na dole kako vreme prolazi (ona je svakako negativna). Za jedan od 2 slučaja primećujemo interesantno ponašanje pri donjim pikovima funkcije ograničenja.

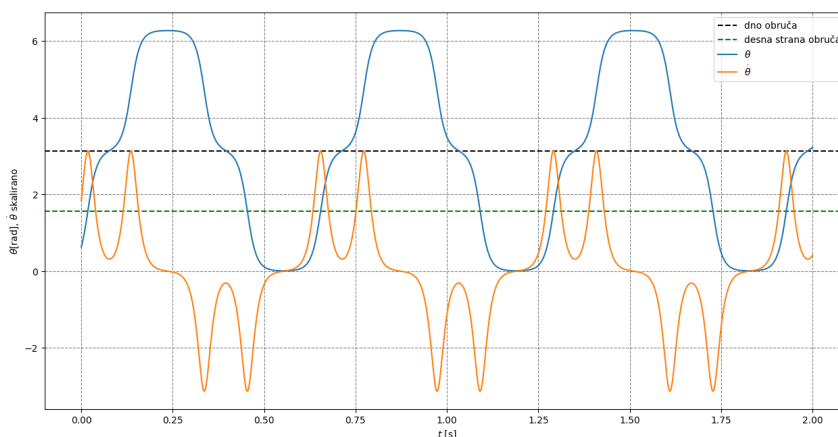
2.5. Zanimljivi slučajevi

Vratimo se sada na slučaj kada je $a = 100$, a inicijalno r jednako R . Posmatrajmo grafike vremenske zavisnosti θ i $\dot{\theta}$ za neke zanimljive granične slučajeve. Više ne posmatramo male oscilacije. Do sada smo u svim analizama inicijalnu ugaonu brzinu kuglice $\dot{\theta}$ postavljali na 0, međutim za naredne slučajeve to neće biti slučaj.



Slika 2.12.: Vremenska evolucija θ i $\dot{\theta}$

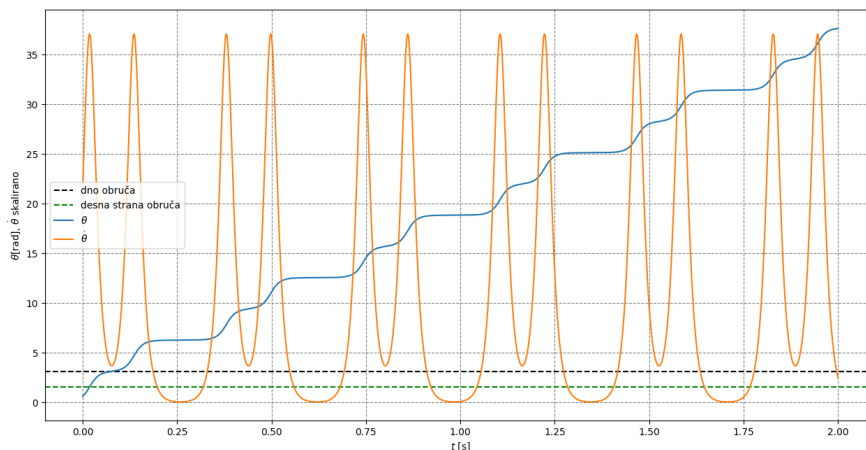
U ovom slučaju, inicijalne vrednosti su takve da omoguće kuglici da se popne skoro do vrha obruča, zatim vrati na dno, gde se zadržava neko vreme, i onda da se ponovo penje, i to istom stranom obruča. Kretanje je periodično. Povećanjem inicijalne ugaone brzine dolazimo do sledećeg slučaja:



Slika 2.13.: Vremenska evolucija θ i $\dot{\theta}$

2.5. ZANIMLJIVI SLUČAJEVI

U ovom slučaju se dešava sledeće: kuglica dođe do vrha obruča, ali ga ne pređe. Ona zatim krene da se vraća suprotnim smerom, prođe kroz dno i ponovo se popne do vrha sa druge strane obruča. Ona se zadrži neko vreme blizu vrha, ali ga ponovo ne pređe, već krene da se vraća unazad. Ona se tako periodično kreće doveka. Ukoliko bismo još više povećali početnu ugaonu brzinu kuglice, mogli bismo da osiguramo da ona prođe kroz vrh obruča:



Slika 2.14.: Vremenska evolucija θ i $\dot{\theta}$

Mi smo u ova tri slučaja koristili veoma bliske inicijalne vrednosti $\dot{\theta}$. Ovo je interesantno, sa obzirom da su dobijeni rezultati u sva 3 slučaja dosta različiti.

Poslednji grafik je slučaj kada kuglica ima jedva dovoljno energije da pređe vrh obruča. Zbog toga se ona dosta dugo zadržava na vrhu. Ona će se kretati u istom smeru zauvek. Zaključujemo da ukoliko kuglica ima dovoljno energije da jednom prođe kroz vrh, ona će se zauvek kretati u istom smeru. Sa obzirom da je kretanje periodično i u ovom slučaju, energija kuglice je ograničena. Naš sistem ima beskonačni priliiv izvor energije (rotacija obruča se održava konstantnom nekom spoljnom silom), moguće je da postoje početni parametri kuglice takvi da bi omogućili kuglici da beskonačno crpi energiju. Takve parametre, međutim, nismo uspjeli da našetelujemo (ukoliko oni uopšte postoje).

A. MATLAB kodovi

A.1. Simboličko rešavanje

```
1 syms t theta(t) R Omega theta_d(t) m g theta_dd(t) r(t) r_d(t) r_dd(t)
2 phi = Omega * t
3 x = r * sin(theta) * cos(phi)
4 z = -r * sin(theta) * sin(phi)
5 y = r * cos(theta)
6 dot_x = diff(x,t)
7 dot_y = diff(y,t)
8 dot_z = diff(z,t)
9 dot_x = subs(dot_x, diff(theta(t),t),theta_d)
10 dot_y = subs(dot_y, diff(theta(t),t),theta_d)
11 dot_z = subs(dot_z, diff(theta(t),t),theta_d)
12 dot_x = subs(dot_x, diff(r(t),t),r_d)
13 dot_y = subs(dot_y, diff(r(t),t),r_d)
14 dot_z = subs(dot_z, diff(r(t),t),r_d)
15 T = 1/2 * m * (dot_x^2 + dot_y^2 + dot_z^2)
16 U = m*g*y
17 L = simplify(T-U)
18 Nt1 = functionalDerivative(L,theta)
19 Nt2 = functionalDerivative(L,theta_d)
20 Nt3 = diff(Nt2,t)
21 Nt3 = subs(Nt3, diff(theta(t),t),theta_d)
22 Nt3 = subs(Nt3, diff(theta_d(t),t),theta_dd)
23 Nt3 = subs(Nt3, diff(theta(t),t),theta_d)
24 Nt1 = subs(Nt1, diff(theta(t),t),theta_d)
25 Nt1 = subs(Nt1, diff(theta_d(t),t),theta_dd)
26 Nt1 = subs(Nt1, diff(theta(t),t),theta_d)
27 Nt3 = subs(Nt3, diff(r(t),t),r_d)
28 Nt3 = subs(Nt3, diff(r_d(t),t),r_dd)
29 Nt3 = subs(Nt3, diff(r(t),t),r_d)
30 Nt1 = subs(Nt1, diff(r(t),t),r_d)
31 Nt1 = subs(Nt1, diff(r_d(t),t),r_dd)
32 Nt1 = subs(Nt1, diff(r(t),t),r_d)
33
```



```

34 Nr1 = functionalDerivative(L,r)
35 Nr2 = functionalDerivative(L,r_d)
36 Nr3 = diff(Nr2,t)
37 Nr3 = subs(Nr3, diff(r(t),t),r_d)
38 Nr3 = subs(Nr3, diff(r_d(t),t),r_dd)
39 Nr3 = subs(Nr3, diff(r(t),t),r_d)
40 Nr1 = subs(Nr1, diff(r(t),t),r_d)
41 Nr1 = subs(Nr1, diff(r_d(t),t),r_dd)
42 Nr1 = subs(Nr1, diff(r(t),t),r_d)
43 Nr3 = subs(Nr3, diff(theta(t),t),theta_d)
44 Nr3 = subs(Nr3, diff(theta_d(t),t),theta_dd)
45 Nr3 = subs(Nr3, diff(theta(t),t),theta_d)
46 Nr1 = subs(Nr1, diff(theta(t),t),theta_d)
47 Nr1 = subs(Nr1, diff(theta_d(t),t),theta_dd)
48 Nr1 = subs(Nr1, diff(theta(t),t),theta_d)
49
50 simplify(Nt1-Nt3)
51 simplify(Nr1-Nr3)

```

B. Python kodovi

B.1. Simulacija

```
1 import numpy as np
2 import scipy as sc
3 from scipy import integrate
4 import matplotlib.pyplot as plt
5 from sys import getsizeof
6 import tqdm
7 from textwrap import wrap
8 import os
9
10 import yaml
11 import pickle
12
13
14 def ode_stabilisation(y, t, Omega, Omega_squared, a, a_squared, R, g):
15     # Uses constraint stabilisation method
16     # y[0] = r, ret_params[0] = \dot r
17     # y[1] = \dot r, ret_params[1] = \ddot r
18     # y[2] = \theta ret_params[2] = \dot \theta
19     # y[3] = \dot \theta ret_params[3] = \ddot \theta
20     ret = np.empty(4)
21     ret[0] = y[1]
22     ret[1] = -2 * a * y[1] + a_squared * (R - y[0])
23
24     ret[2] = y[3]
25     ret[3] = (
26         -2 * y[1] * y[3]
27         + g * np.sin(y[2])
28         + Omega_squared * y[0] * np.cos(y[2]) * np.sin(y[2])
29     )
30     ret[3] /= y[0]
31
32     return ret
33
```

```
34
35 def ode_simplest(y, t, Omega, Omega_squared, a, a_squared, R, g):
36     # This ode was aquired by not assuming the additional degree of freedom for
37     # r, in other words r=R was taken from the get-go
38     ret = np.empty(4)
39     ret[0] = 0
40     ret[1] = 0
41
42     ret[2] = y[3]
43     ret[3] = Omega_squared * np.sin(y[2]) * np.cos(y[2]) + g / R * np.sin(y[2])
44
45     return ret
46
47 def get_stable_theta_from_analytic_solution(Omega):
48     temp = np.sqrt(GRAVITY / RING_R)
49
50     if isinstance(Omega, np.ndarray) is False:
51         return (
52             np.pi
53             if Omega < temp
54             else np.pi - np.arccos(GRAVITY / np.square(Omega) / RING_R)
55         )
56
57     ret = np.empty(Omega.shape[0])
58     for i, Omega in enumerate(Omega):
59         ret[i] = (
60             np.pi
61             if Omega < temp
62             else np.pi - np.arccos(GRAVITY / np.square(Omega) / RING_R)
63         )
64
65     return ret
66
67
68 def get_sol(ode_func, Omega, theta_init, time_view, theta_dot_init=0):
69     func_params = (
70         Omega,
71         Omega**2,
72         parameters["a"],
73         parameters["a"] ** 2,
74         RING_R,
```

```
75     GRAVITY,
76 )
77 inits = [
78     RING_R,
79     #RING_R * 1.02,
80     0,
81     theta_init,
82     theta_dot_init,
83 ]
84 sol = integrate.odeint(ode_func, inits, time_view, args=func_params)
85
86 return sol.view()
87
88
89 def simulate_stable():
90
91     theta_stable_resolution = (
92         parameters["theta_stable_start"] - parameters["theta_stable_end"]
93     ) / parameters["nr_theta_stable_samples"]
94
95     theta_samples = np.linspace(
96         parameters["theta_stable_start"],
97         parameters["theta_stable_end"],
98         parameters["nr_theta_stable_samples"],
99     )
100
101     loading = tqdm.trange(len(Omega_arr), desc="Simulating for stable thetas: ")
102
103     stable_arr = [[], []]
104     for i, Omega_curr in enumerate(Omega_arr):
105         loading.update()
106
107         theta_stable = None
108         for j, theta_curr in enumerate(theta_samples):
109             sol = get_sol(parameters["ode_used"], Omega_curr, theta_curr, t.view
110                             ())
111
112             spread = sol[:, 2].max() - sol[:, 2].min()
113             avg = np.average(sol[:, 2])
114
115             spread_is_small = spread < theta_stable_resolution * 1.1
```

```
115         avg_is_theta = avg - theta_curr < 0.1
116
117         if spread_is_small and avg_is_theta:
118             theta_stable = theta_curr
119
120         if theta_stable is not None:
121             stable_arr[0].append(Omega_curr)
122             stable_arr[1].append(theta_stable)
123         else:
124             print("no stable theta found for Omega=", Omega_curr)
125
126     return stable_arr
127
128
129 RING_R = 1 # m
130 BALL_M = 0.1 # kg
131 GRAVITY = 9.81 # m/s^2
132
133 parameters = {}
134
135 # ----- Parameters
136
137 parameters["Omega_stable_start"] = 0
138 parameters["Omega_stable_end"] = np.sqrt(GRAVITY / RING_R) * 7
139
140 parameters["nr_Omega_stable"], parameters["nr_theta_stable_samples"] = 100, 300
141 parameters["theta_stable_start"], parameters["theta_stable_end"] = np.pi, np.pi
142     * 0.499
143 parameters["time_start"], parameters["time_end"] = 0, 20
144 parameters["nr_time"] = 10**3
145
146 parameters["ode_used"] = ode_stabilisation
147 parameters["theta_init"] = np.pi * 0.99
148
149 parameters["a"] = 100
150 # 'a' controls the 'force' at which the ball will be constrained to the bar
151 # -----
152
153 t = np.linspace(parameters["time_start"], parameters["time_end"], parameters["nr_time"])
154
```

```
155 Omega_arr = np.linspace(
156     parameters["Omega_stable_start"],
157     parameters["Omega_stable_end"],
158     parameters["nr_Omega_stable"],
159 )
160
161 stable_arr = [], []
162
163 STABLE_PARAMETERS_FILE_NAME = "parameters.pickle"
164 STABLE_POINTS_FILE_NAME = "points.pickle"
165
166 stable_file_valid = True
167
168 if (os.path.exists(STABLE_PARAMETERS_FILE_NAME) is False) or (
169     os.path.exists(STABLE_POINTS_FILE_NAME) is False
170 ):
171     stable_file_valid = False
172 else:
173     with open(STABLE_PARAMETERS_FILE_NAME, "rb") as file:
174         loaded_parameters = pickle.load(file)
175     with open(STABLE_POINTS_FILE_NAME, "rb") as file:
176         loaded_stable_arr = pickle.load(file)
177
178     if loaded_parameters != parameters:
179         stable_file_valid = False
180     else:
181         stable_arr = loaded_stable_arr
182
183 if stable_file_valid:
184     print(
185         "Files for saving simulations of stable points found, skipping the
186         simulation"
187     )
188 else:
189     print(
190         "Files for saving simulations of stable points with the same parameters
191         NOT found"
192     )
193     stable_arr = simulate_stable()
194
195     with open(STABLE_PARAMETERS_FILE_NAME, "wb") as file:
196         pickle.dump(parameters, file)
```

```
195     with open(STABLE_POINTS_FILE_NAME, "wb") as file:
196         pickle.dump(stable_arr, file)
197
198     nrCalc1 = (
199         parameters["nr_Omega_stable"]
200         * parameters["nr_theta_stable_samples"]
201         * parameters["nr_time"]
202     )
203     nrCalc2 = parameters["nr_Omega_stable"] * parameters["nr_theta_stable_samples"]
204     print(
205         f"theta was calculated {nrCalc1:}, times, in {nrCalc2:} distinct
206         simulations for the stable theta information"
207     )
208
209     # %%
210
211
212     figs = [None]
213     axs = [None]
214
215     figs[0], axs[0] = plt.subplots(1, 1)
216
217     axs[0].set_title(
218         r"$\theta_{\text{stabilno}}$ u zavisnosti od ugaone brzine rotiranja obruÄDa $\Omega$"
219     )
220     axs[0].axvline(
221         np.sqrt(GRAVITY / RING_R),
222         label=r"$\sqrt{\frac{g}{R}}$",
223         color="red",
224         linestyle="--",
225     )
226     axs[0].set_xlabel(r"$\Omega$ [rad/s]")
227     axs[0].set_ylabel(r"$\theta_{\text{stabilno}}$ [rad]")
228     axs[0].axhline(np.pi, label="dno obruÄDa", color="black", linestyle="--")
229     axs[0].axhline(np.pi / 2, label="desna strana obruÄDa", color="green",
230                    linestyle="--")
231
232     axs[0].plot(stable_arr[0], stable_arr[1], label="numericko resenje")
233     axs[0].plot(
234         Omega_arr,
```

```
234     get_stable_theta_from_analytic_solution(Omega_arr),
235     label="analiticko resenje", linestyle="--"
236 )
237
238
239 # %%
240
241
242 two_Omegas = [
243     np.sqrt(GRAVITY / RING_R) * 0.5,
244     np.sqrt(GRAVITY / RING_R) * 1.5,
245 ] # One Omega smaller than the critical Omega and one greater
246 two_theta_inits = [
247     get_stable_theta_from_analytic_solution(Omega) * 1.05 for Omega in
248         two_Omegas
249 ]
250 two_labels = [
251     "$\Omega="
252     + str(Omega)[:4]
253     + "$ rad/s, "
254     + r"$\theta_{stabilno} = "
255     + str(get_stable_theta_from_analytic_solution(Omega))[:4]
256     + r"$ rad, $\theta_{init} = "
257     + str(theta_init)[:4]
258     + "$ rad"
259     for theta_init, Omega in zip(two_theta_inits, two_Omegas)
260 ]
261
262 two_sol = [
263     get_sol(parameters["ode_used"], Omega, theta, t.view())
264     for Omega, theta in zip(two_Omegas, two_theta_inits)
265 ]
266
267 # Draw theta(t)
268 figs.append(None)
269 axs.append(None)
270 figs[-1], axs[-1] = plt.subplots(1, 1)
271 title = "\n".join(
272     wrap(
273         r"Ugao odklona kuglice $\Delta \theta$ (u odnosu na ispitivani
274         ravnotežni položaj) u zavisnosti od vremena $t$",
275         60,
```



```
274     )
275 )
276 axs[-1].set_title(title)
277 axs[-1].set_xlabel(r"$t$ [s]")
278 axs[-1].set_ylabel(r"$\Delta \theta$ [rad]")
279 for i, j in enumerate([len(figs) - 1] * 2):
280     axs[j].plot(
281         t,
282         two_sol[i][:, 2] - get_stable_theta_from_analytic_solution(two_Omegas[i
283             ]),
284         label=two_labels[i],
285     )
286
287 # Draw the trajectory
288 figs.append(None)
289 axs.append(None)
290 figs[-1], axs[-1] = plt.subplots(1, 1)
291 title = "\n".join(
292     wrap(
293         r"Trajektorija kuglice",
294         60,
295     )
296 )
297 axs[-1].set_title(title)
298 axs[-1].set_xlabel(r"$x$ [m]")
299 axs[-1].set_ylabel(r"$y$ [m]")
300 angles = np.linspace(
301     0, np.pi * 2, 1000
302 ) # angle from the x axis like its usually found in math
303 axs[-1].plot(
304     np.cos(angles) * RING_R,
305     (np.sin(angles) + 1) * RING_R,
306     label="obruÄD",
307     color="gray",
308     linestyle="--",
309 )
310 for i, j in enumerate([len(figs) - 1] * 2):
311     x = np.sin(two_sol[i][:, 2]) * RING_R
312     y = (np.cos(two_sol[i][:, 2]) + 1) * RING_R
313     axs[j].plot(x, y, label=two_labels[i])
314     # axs[j].set_aspect("equal", adjustable="box")
```

```
315
316
317 # Draw the phase diagram
318 figs.append(None)
319 axs.append(None)
320 figs[-1], axs[-1] = plt.subplots(1, 1)
321 title = "\n".join(
322     wrap(
323         r"Zavisnost ugaone brzine $\dot{\theta}$ kuglice od ugla njenog otklona
324         (u odnosu na ravnotežni položaj) $\Delta \theta$",
325         60,
326     )
327 )
328 axs[-1].set_title(title)
329 axs[-1].set_xlabel(r"$\Delta \theta$ [rad]")
330 axs[-1].set_ylabel(r"$\dot{\theta}$ [rad/s]")
331 for i, j in enumerate([len(figs) - 1] * 2):
332     axs[j].plot(
333         two_sol[i][:, 2] - get_stable_theta_from_analytic_solution(two_Omegas[i]),
334         # two_sol[:, 2],
335         two_sol[i][:, 3],
336         label=two_labels[i],
337     )
338
339 # Draw the force due to the R=r "constraint"
340 figs.append(None)
341 axs.append(None)
342 figs[-1], axs[-1] = plt.subplots(1, 1)
343 title = "\n".join(
344     wrap(
345         r"Sila ograničenja $F_{\text{const}}$ u zavisnosti od vremena $t$",
346         60,
347     )
348 )
349 axs[-1].set_title(title)
350 axs[-1].set_xlabel(r"$t$ [s]")
351 axs[-1].set_ylabel(r"$F_{\text{const}}(t)$ [N]")
352 for i, j in enumerate([len(figs) - 1] * 2):
353     f = (
354         BALL_M * GRAVITY * np.cos(two_sol[i][:, 2])
```

```
355     - BALL_M * RING_R * np.square(two_sol[i][:, 3])
356     - BALL_M * RING_R * np.square(np.sin(two_sol[i][:, 2])) * two_Omegas[i]
357 )
358 r_dot_dot = -2 * parameters["a"] * two_sol[i][:, 1] + np.square(parameters[
359     "a"]) * (
360     RING_R - two_sol[i][:, 0]
361 ) # this is from the constraint stabilisation formula
362 f = f + BALL_M * r_dot_dot
363
364
365 # Draw the constraint function stabilizing over time
366 figs.append(None)
367 axs.append(None)
368 figs[-1], axs[-1] = plt.subplots(1, 1)
369 title = "\n".join(
370     wrap(
371         r"Funkcija ograniĎenja  $f(r)=r-R$  u zavisnosti od vremena  $t$ ",
372         60,
373     )
374 )
375 axs[-1].set_title(title)
376 axs[-1].set_xlabel(r"$t$ [s]")
377 axs[-1].set_ylabel(r"$f(t)$ [m]")
378 for i, j in enumerate([len(figs) - 1] * 2):
379     axs[j].plot(t, two_sol[i][:, 0] - RING_R, label=two_labels[i])
380
381
382 # Draw and calcualte the movement of the non stable case
383 Omega_unstable = np.sqrt(GRAVITY / RING_R) * 20
384 theta_init_unstable = np.pi * 0.2
385 #theta_dot_init_unstable = Omega_unstable * 0.5886 # Weird case 1 where it goes
386     in circle forever
387 #theta_dot_init_unstable = Omega_unstable * 0.58855 # Weird case 1 where it
388     goes from top to top without ever going over
389 #theta_dot_init_unstable = Omega_unstable * 0.5805 # 3
390 theta_dot_init_unstable = Omega_unstable * 0.580038
391 t_unstable = np.linspace(0, 2, 10**5)
392 sol_unstable = get_sol(
393     parameters["ode_used"],
394     Omega_unstable,
395     theta_init_unstable,
```

```
394     t_unstable.view(),
395     theta_dot_init_unstable,
396 )
397 figs.append(None)
398 axs.append(None)
399 figs[-1], axs[-1] = plt.subplots(1, 1)
400 title = "\n".join(
401     wrap(
402         r"Zavisnost $\theta$ i $\dot{\theta}$ od vremena $t$ u nestabilnom
           slucaju",
403         60,
404     )
405 )
406 axs[-1].set_xlabel(r"$t$ [s]")
407 axs[-1].set_ylabel(r"$\theta$[rad], $\dot{\theta}$ skalirano")
408 axs[-1].axhline(np.pi, label="dno obruÄDa", color="black", linestyle="--")
409 axs[-1].axhline(np.pi / 2, label="desna strana obruÄDa", color="green",
           linestyle="--")
410 text = str(
411     r"SluÄDaj sa $\theta_{init}$="
412     + str(theta_init_unstable)[:4]
413     + r"$ rad, $\dot{\theta}_{init}$ = "
414     + str(theta_dot_init_unstable)[:4]
415     + r" rad/s, i $\Omega$="
416     + str(Omega_unstable)[:4]
417     + r"$ rad/s"
418 )
419 text = wrap(text, 60)
420 text = "\n".join(text)
421 figs[-1].text(0.5, -0.02, text, wrap=True, horizontalalignment="center",
           fontsize=12)
422 axs[-1].plot(t_unstable, sol_unstable[:, 2], label=r"$\theta$")
423 scale = (np.max(sol_unstable[:, 2]) - np.min(sol_unstable[:, 2])) / (
424     np.max(sol_unstable[:, 3]) - np.min(sol_unstable[:, 3]))
425 )
426
427 axs[-1].plot(t_unstable, sol_unstable[:, 3] * scale, label=r"$\dot{\theta}$")
428
429
430 for axes in axs:
431     axes.grid(color="gray", linestyle="--")
432     axes.legend()
```

```
433
434 for ax, fig in zip(axes, figs):
435     # fig.tight_layout()
436     fig.show()
437
438 parameters["a"] = input()
```